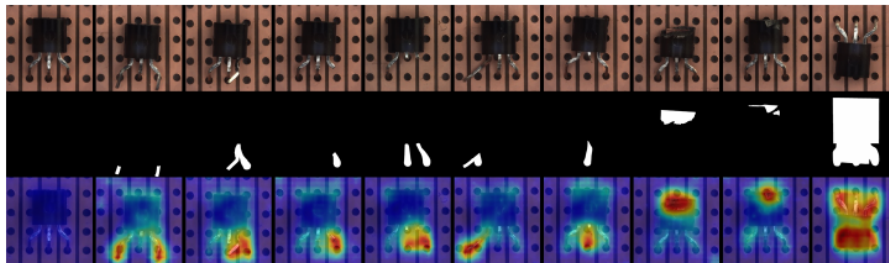
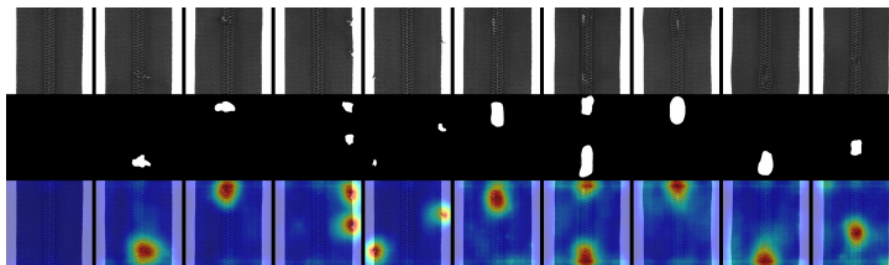


図A13: MVTec-ADにおける歯ブラシの異常検出結果。上から下へ：サンプル、真値、およびADTRの異常スコアマップ。最初の列は正常なサンプルです。



図A14: MVTec-ADにおけるトランジスタの異常検出結果。上から下へ：サンプル、真値、およびADTRの異常スコアマップ。最初の列は正常なサンプルです。



図A15: MVTec-ADにおけるジッパーの異常検出結果。上から下へ：サンプル、真値、およびADTRの異常スコアマップ。最初の列は正常なサンプルです。

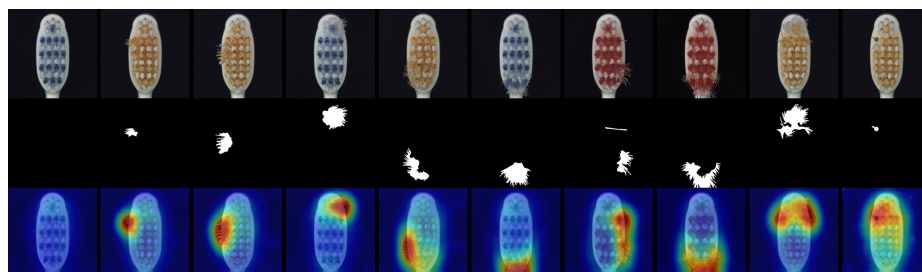


Fig. A13: Anomaly detection results of toothbrush on MVTec-AD. From top to down: samples, ground-truth, and the anomaly score maps of ADTR. The first column is the normal sample.

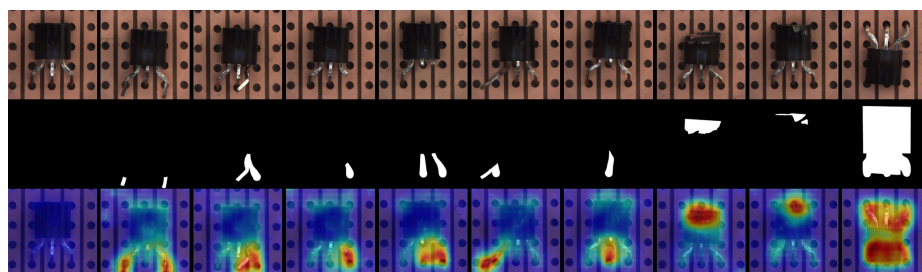


Fig. A14: Anomaly detection results of transistor on MVTec-AD. From top to down: samples, ground-truth, and the anomaly score maps of ADTR. The first column is the normal sample.

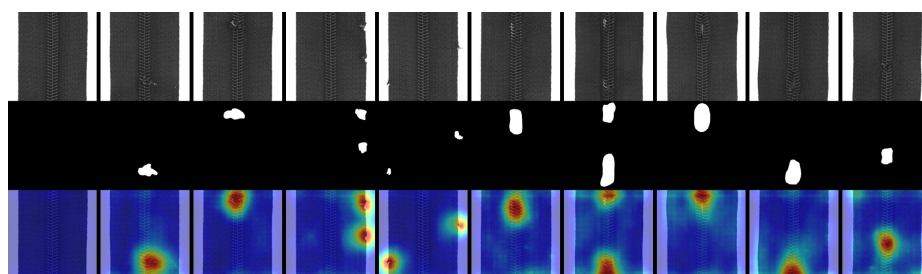


Fig. A15: Anomaly detection results of zipper on MVTec-AD. From top to down: samples, ground-truth, and the anomaly score maps of ADTR. The first column is the normal sample.